

GERÊNCIA DE PROSPECÇÃO

RELATÓRIO DE ETAPA DO PROSPECTO

SÃO SILVESTRE; ALVO ARROIO DO BUGIO (AN. IX - 3)

Marcos Vitor Fabro Dias
Oscar Salazar Júnior

Dezembro - 83

Í N D I C E

I - INTRODUÇÃO.....	01
II - LOCALIZAÇÃO, ACESSO E SITUAÇÃO LEGAL.....	01
III - EQUIPE TÉCNICA E DADOS DE PRODUÇÃO.....	01
IV - TRABALHOS ANTERIORES.....	03
V - GEOLOGIA DA FORMAÇÃO ÁGUA CLARA.....	05
- Fácies São Silvestre.....	05
- Fácies Serrinha.....	06
- Aspectos Estruturais da Formação Água Clara.....	07
- Metamorfismo da Formação Água Clara.....	07
VI - OBJETIVOS DA PESQUISA.....	07
VII - METODOLOGIA DE TRABALHO.....	08
- Malha topográfica.....	08
- Estabelecimento da profundidade a ser amostrada na geoquímica de solo.....	08
- Amostragem e análises de solo e rocha.....	08
- Levantamento geológico em drenagens.....	09
- Abertura de poços e trincheiras.....	09
VIII - GEOLOGIA DA ÁREA.....	09
- Fácies São Silvestre.....	09
- Fácies de Transição.....	09
- Fácies Serrinha.....	10
IX - RESULTADOS DE GEOQUÍMICA DE SOLO, ROCHAS E POÇOS E TRINCHEIRAS.....	10
X - CONCLUSÕES E RECOMENDAÇÕES.....	34

A N E X O S

- Diagrama de polos da xistosidade $S_1//S_0$ da área do Bugio.
- Diagrama de polos da xistosidade $S_1//S_0$ sobre o fácies calcossilicático mais o fácies brechado e hidrotermalizado.
- Diagrama de polos da xistosidade $S_1//S_0$ do fácies brechado e hidrotermalizado (anômalo).
- Fichas de análise petrográfica.
- Mapa litofaciológico.
- Mapa de pontos e caminhamento.
- Mapa dos resultados de sedimento de corrente e concentrado de bateia.
- Mapa da malha topográfica.
- Mapa dos resultados de geoquímica de solo do cobre.
- Mapa dos resultados de geoquímica de solo do chumbo (AR).
- Mapa dos resultados de geoquímica de solo do chumbo (EDTA).
- Mapa dos resultados de geoquímica de solo do zinco.
- Mapa dos resultados de geoquímica de solo do níquel.
- Mapa dos resultados de geoquímica de solo do cobalto.
- Mapa dos resultados de geoquímica de solo do manganês.
- Perfis dos resultados de geoquímica de solo do cobre.
- Perfis dos resultados de geoquímica de solo do níquel.
- Perfis dos resultados de geoquímica de solo do manganês.
- Perfis dos resultados de geoquímica de solo do cobalto.
- Perfis dos resultados de geoquímica de solo do chumbo (EDTA).
- Perfis dos resultados de geoquímica de solo do chumbo (AR).
- Perfis dos resultados de geoquímica de solo do zinco.

R E S U M O

O presente relatório descreve as atividades desenvolvidas sobre o alvo do Arroio do Bugio, bem como os resultados obtidos até então.

Foi executado um mapeamento litofaciológico (1:5.000) em área de 5 km² aproximadamente, geoquímica de solo em malha 200 x 25 m numa área aproximada de 2 km², abertos 17 poços e 3 trincheiras além da coleta de diversas amostras de rocha para estudos petrográficos, análises químicas e arquivo.

O mapeamento permitiu subdividir a área em três litofácies distintas; uma predominantemente de rochas pelito-clásticas xistosas, outra de rochas dominante mente calcossilicáticas bandadas, e outra com camadas de rochas quartzosas e carbonáticas, fraturadas e hidrotermalizadas (anômala).

A geoquímica de solo confirmou a drenagem anômala (D-3) para Pb e Zn, já detectada pelo sedimento de corrente, nos trabalhos de nível regional e de semidetalhe anteriores, delimitando uma zona anômala de 0,2 km² aproximadamente, ficando em aberto à Oeste. Os valores máximos de solo detectado foram 570 ppm para Pb, 580 ppm para Zn e 9600 ppm para Mn.

Das análises químicas de rochas efetuadas os valores máximos cadastrados foram da amostra FB-3226 que acusou 10.000 ppm para Pb e 2.100 ppm para Zn. Essa amostra foi retirada da trincheira T-1.

I - INTRODUÇÃO

O presente relatório se refere a primeira etapa do Prospekt São Silvestre que consiste em checar a bacia do Ribeirão do Bugio, anômala para Pb, Zn, Mn e Au, conforme plano de trabalho apresentado.

II - LOCALIZAÇÃO, ACESSO E SITUAÇÃO LEGAL

O alvo investigado localiza-se a Noroeste de Curitiba, distando cerca de 50 km em linha reta da capital; fica a Leste do povoado de São Silvestre, na margem esquerda do Rio Aquiriguai, entre as localidades de Pinhal dos Guarás e Rancharia (fig. 1).

O acesso é feito partindo-se de Curitiba pela Rodovia PR-092 por cerca de 30 km até o entroncamento que dá acesso à Fábrica de Cimento Itaú, chegando até a localidade de Itaperussu. Deste ponto toma-se a estrada macadamizada em direção a São Pedro, por cerca de 15 km (proximidades do acampamento da Trombini), tomando-se a estrada secundária à esquerda em direção à localidade de Pinhal dos Guarás por mais 15 km (fig. 1).

A área encontra-se coberta, quase na sua totalidade pelo pedido de pesquisa 820.843/81, alvará 5173 de 13.10.82 e uma pequena parte à Oeste pelo pedido de pesquisa nº 820.673/82 (fig. 2).

III - EQUIPE TÉCNICA E DADOS DE PRODUÇÃO

Para realização das operações previstas no plano operacional, esteve envolvida a seguinte equipe:

Geólogos: Marcos Vitor Fabro Dias

Oscar Salazar Júnior

Rosa Maria de Souza (petrografia)

Técnico: Fernando Barbosa dos Santos (até agosto/83)

Prospector: Paulo Augustynczyk

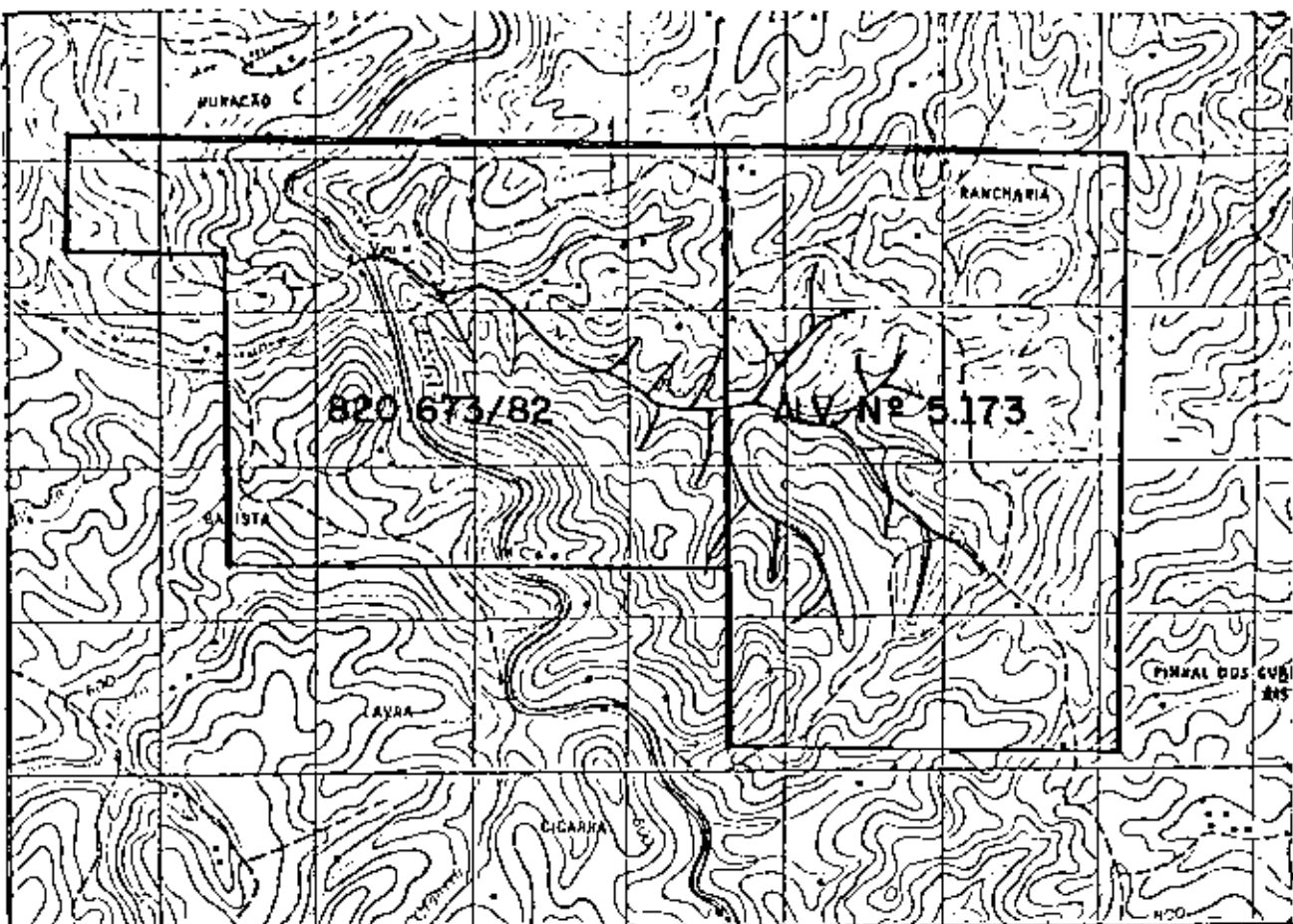
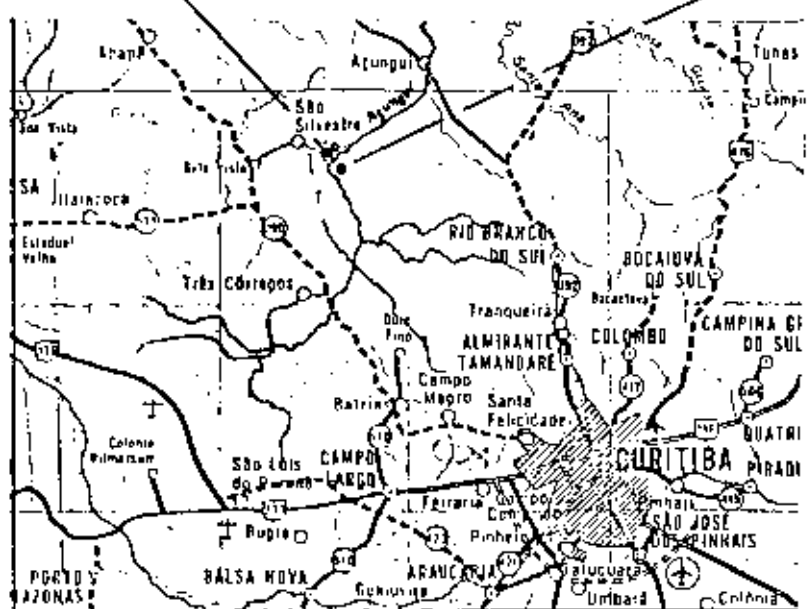


Fig. 2

SITUAÇÃO LEGAL – ESC. 1:50.000



MAPA DE LOCALIZAÇÃO – ESC. 1:1000.000

Fig. 1

Braçais: Bras Pereira de Lara
 João Maria de Lara
 Amaro Ferreira Cardoso
 Jorge Batista dos Santos

Os trabalhos realizados consistiram em:

- Abertura de picadas e piqueteamento
 25 x 25 m..... 11.275 m
- Abertura de picadas e piqueteamento
 50 x 50 m..... 2.200 m
- Coleta de amostras para o orientati-
 vo de solo (profundidade a ser amos-
 trada)..... 61 amostras
- Coleta de amostras de solo em malha..... 495 amostras
- Coleta de amostras de solo para con-
 trole de qualidade..... 54 amostras
- Fotointerpretação 1:25.000..... 25 km²
- Caminhamento em drenagem para levan-
 tamento geológico com controle de
 20 em 20 m..... 10.000 m
- Reperfilagem geológica em drenagem
 (D-3)..... 680 m
- Mapeamento geológico 1:5.000..... 5 km²
- Coleta de amostras de sedimento de
 corrente..... 02 amostras
- Coleta de amostras de rocha..... 60 amostras
- Amostras de rocha enviadas para aná-
 lise petrográfica..... 21 amostras
- Amostras de rocha enviadas para aná-
 lise química..... 38 amostras
- Amostras de rocha enviadas para ser-
 rar e polir..... 20 amostras
- Abertura de 17 poços (1,5 x 1,5 x
 variável) que somados linearmente
 perfazem 42,2 m dando um total apro-
 ximado de 95 m³ de material removi-
 do.
- Amostragem de canal nos poços para

análise química (solo e rocha) (20x 10 cm).....	138 amostras
- Abertura de 3 trincheiras (15 x 1,5 x 1,5 m) perfazendo um total aproxi- mado de 34 m ³ de material removido	
- Coleta de amostras nas trincheiras e encaminhamento para análise quími- ca de rocha.....	13 amostras

IV - TRABALHOS ANTERIORES

A área em estudo já foi trabalhada pela MINEROPAR, atra-
vés de mapeamentos geológicos e levantamentos geoquímicos de
sedimento de corrente e concentrado de bateia em âmbito re-
gional e semidetalhe.

Os trabalhos geológicos foram: "Geologia e Potencialida-
des Econômicas da Formação Água Clara (PR)", Pontes (1981) e
"Geologia e Potencialidades Econômicas da Região de São Sil-
vestre (PR)", Pontes e Salazar (1982).

Os trabalhos geoquímicos foram: "Reconhecimento Geoquí-
mico na Área da Formação Água Clara", Ramos (1981) e "Levan-
tamento Geoquímico de Semidetalhe na Área de São Silvestre",
Ramos e Licht (1982).

O trabalho geológico regional visou um levantamento de
dados que permitisse, apoiado em dados geoquímicos, uma aná-
lise preliminar do potencial econômico para metais básicos da
Formação Água Clara. Neste trabalho essa formação foi subdi-
vidida em dois fácies: Serrinha (carbonático) e São Silvestre
(vulcano-sedimentar).

Como sugestão de modelos prospectivos foi apontado o de
carbonatos de águas rasas (Pb, Zn) para o Fácies Serrinha, com
chances muito modestas e o modelo exalativo sedimentar (rochas
clásticas e carbonáticas) (Hutchinson, 1977), para o Fácies São
Silvestre, sendo considerado muito promissor para esse fácies,
especialmente para aquele associado a rochas clásticas.

Dos resultados apresentados, destacou-se o Fácies São Sil-
vestre como mais importante do ponto de vista econômico, con-

siderando:

- associação litológica incluindo termos pelíticos, possíveis tufos básicos, rochas carbonáticas e delgados níveis de formação ferro-manganesífera.
- presença constante de sulfeto disseminado (pirrotita, pirita, calcopirita e mais raramente galena).
- resultados anômalos para Cu, Pb e Zn em análise química de rocha:

	Cu ppm	Pb ppm	Zn ppm
JP-244-B	410	5	60
JP-327-A	200	41	150
JP-328-B	690	35	120
JP-329	450	35	90
JP-310-A	100	150	130
JP-395	89	260	110

- resultados de geoquímica de sedimento de corrente apontando as regiões de Barro Branco, Rancharia (Bugio), Pavão dos Gomes, Santa Cruz, Santa Quitéria e São Silvestre como anômalas.

Os trabalhos geológicos e geoquímicos a nível de semide talhe foram executados com o objetivo de se investigar o verdadeiro potencial do Fácies São Silvestre, tendo em vista os resultados da fase anterior.

Nesta fase, algumas questões sobre a geoquímica foram levantadas, tais como:

- valores anômalos de Pb, relacionados a valores também anô malos de Mn, deixando dúvidas quanto ao significado dessas anomalias; em ambientes secundários o Mn tende a concentrar o Pb.
- Baixos contrastes entre valores anômalos e a média.
- Resultados de litogeoquímica incompatíveis com os de sedimento de corrente para o cobre; valores elevados na litogeo-

química e nenhum valor anômalo, salvo casos isolados, nos sedimentos de corrente.

Dos resultados apresentados foram selecionados quatro grupos de anomalias e eleito uma por grupo que serviria de padrão, com base nas similaridades geológicas e associação de elementos anômalos.

As anomalias padrão selecionadas foram:

Anomalia IX-3 - Ribeirão do Bugio (Pb, Zn, Mn e Au).

Anomalia VI-2 - Ribeirão das Pedras e Pavãozinho (Cu, Zn, Pb e Co).

Anomalia V - Arroio Bela Vista (Pb).

Anomalia I - Arroio Belizário (Au e Sn).

V - GEOLOGIA DA FORMAÇÃO ÁGUA CLARA (Segundo Pontes, 1981; e Pontes e Salazar, 1982)

As rochas metassedimentares que constituem a Formação Água Clara (Marini et al., 1967; Marini, 1970) ocupam uma posição central em relação ao Grupo Açuengui, sempre bordejando ou formando estreitas faixas dentro do Complexo Três Córregos.

Os trabalhos geológicos desenvolvidos (Pontes, 1981) permitiram comprovar que a Formação Água Clara é constituída, pelo menos, por dois fácies distintos, denominado Fácies São Silvestre (basal) e Serrinha (superior).

Fácies São Silvestre

As principais características gerais dessa subunidade são as seguintes:

- grande ritmocidade da sedimentação, com alternância de níveis de composição variada, não raro em escala centimétrica.
- predominância de rochas de granulação fina a muito fina, provenientes de uma sedimentação pelito clástica a química. Salvo raras exceções, as rochas clásticas grosseiras estão ausentes dessa subunidade.
- freqüentes intercalações de rochas de origem ígnea, predo-

minando os metatufitos básicos e intermediários.

- presença bastante generalizada de níveis com enriquecimento residual de manganês e;
- constante presença de delgadas intercalações de níveis de metachert mangano-ferruginoso ou formação ferro-manganesífera (gonditos).

Os conjuntos litológicos deste fácies são:

- intercalação de rochas pelito-clásticas (biotita-quartzo-xisto) e mais raramente, metamargas (carbonato-biotita-anfibólio-xisto) com rochas de provável origem ígnea, a partir de tuhos ou sedimentos tufáceos de natureza básica a intermediária e mais raramente delgados níveis de quartzito fino a muito fino, granadíferos e micáceos ou anfibolíticos.
- alternância de níveis anfibolíticos (hornblenda / tremolita/ actinolita) com níveis silicosos (metachert) ou sílico-carbonáticos.
- freqüentemente intercalam-se também nesse fácies delgados níveis de rochas sílico-mangano-ferruginosa, às vezes com caráter nitidamente bandado, alternando bandas essencialmente silicosas, com bandas ricas em Fe/Mn, constituindo uma verdadeira formação ferro-manganesífera bandada.

Aparentemente na transição do fácies vulcano-sedimentar (São Silvestre) para o fácies carbonático (Serrinha) ocorre um conjunto de rochas carbonáticas (metamargas, mármore impuro em geral silicoso - e, mais raro, mármore puro), bem laminados e com alternância rítmica. Freqüentemente intercalam-se delgados níveis de quartzito fino a muito fino, bem recristalizado, quase sempre com matriz carbonática.

Fácies Serrinha

Esse fácies ocupa posição estratigráfica superior e é constituído predominantemente por rochas carbonáticas, com raras intercalações de metapelitos (mica-xistos e quartzitos). Characteriza-se em geral pela alternância de calco-xistos, mármore impuros e mármore puros, em níveis pouco espessos.

Os mármore impuros variam desde rochas subxistosas, compostas por carbonato, clorita, epidoto e anfibólio, até mármore quartzosos (ou silicosos), compostos por carbonato, quartzo e mica (clorita, flogopita ou biotita).

Aspectos Estruturais da Formação Água Clara

A estrutura da Formação Água Clara é bastante complexa, resultante da superposição de pelo menos três episódios de deformação, dois dos quais aparentemente associados com eventos metamórficos regionais (F_1 e F_2).

As direções estruturais são predominantemente NE com altos ângulos de mergulho para NW, salvo na região central (São Silvestre e São Domingos), onde predominam direções estruturais NW e baixos ângulos de mergulho.

Metamorfismo da Formação Água Clara

A análise da evolução metamórfica da Formação Água Clara é bastante dificultada pela superposição do metamorfismo termal, provocada pela intrusão do Batólito Três Córregos, em uma seqüência muito provavelmente já afetada por dois eventos de metamorfismo dinamotermal.

O primeiro evento metamórfico regional parece ter-se desenvolvido em associação com a fase F_1 de deformação que gerou dobrões isoclinais de fluxo e pode ser situado na parte superior do grau fraco (Winkler, 1977).

A fase de metamorfismo termal associada à intrusão do Granito Três Córregos (Marini et al., 1967; Marini, 1970; Schöll, 1981) foi o último evento expressivo que atuou nesta formação, salvo influência termal dos diques de diabásio.

Uma fase de retrometamorfismo superposta aos eventos iniciais é sugerida por processos de substituição.

VI - OBJETIVOS DA PESQUISA

O alvo Arroio do Bugio foi selecionado como anomalia padrão do Grupo I consistindo em zona anômala para Pb, Zn, Mn e Au.

O objetivo do plano foi o de checar a(s) fonte(s) da anomalia padrão, bem como obter parâmetros que possam orientar no estabelecimento de critérios (ou metodologia) a serem empregados para a avaliação das demais anomalias.

VII - METODOLOGIA DE TRABALHO

Abertura da malha topográfica: feita com auxílio de teodolito para a abertura da linha básica e da demarcação dos primeiros 50 m das transversais perpendiculares a ela. Com o auxílio de balisa e pelo método de prolongamento, demarcadas as linhas transversais.

A linha básica foi piqueteada de 50 em 50 m e as transversais de 25 em 25 m.

Estabelecimento da profundidade a ser amostrada: com o intuito de se estabelecer a profundidade a ser amostrada (geoquímica de solo) foram coletadas amostras nos diferentes horizontes (A, B e C) em 6 pontos com situações topográficas; de encosta, meia encosta e topo de morro.

Para complementação deste estudo foram coletadas amostras em outros 10 pontos da malha, sendo a amostragem feita mais criteriosamente, não só em função dos diferentes horizontes, como espaçados de maneira ordenada e de 20 em 20 cm.

Amostragem e análises de solo e rocha: a amostragem de solo foi feita com auxílio de escavadeira, na profundidade de 50 cm, sendo o material amostrado acondicionado em sacos de pano.

Os elementos analisados no solo foram Cu, Pb, Zn, Co, Ni e Mn, na fração granulométrica menor que 80 mesh, por espectrofotometria de absorção atômica (AA), após abertura com águia régia (AR) 3:1 (HCl:HNO₃) à quente, e para Pb após abertura com EDTA 0,25% à frio.

Os elementos analisados em rocha foram Cu, Pb e Zn, na fração granulométrica menor que 200 mesh, por espectrofotometria de absorção atômica, após abertura total (fluorização).

Todas as análises foram feitas pelo TECPAR.

Levantamento geológico em drenagens: efetuado com auxílio de corda (20 m) e demais ferramentas convencionais em trabalhos geológicos. Uma tentativa de uso de altímetro Paulim para levantamento topográfico altimétrico dos perfis de drenagem foi efetuado, se revelando ineficiente para esta prática. A coleta de amostra de rocha foi feita em pontos de exposição, quando se verificava algum interesse para análises químicas e/ou estudos petrográficos.

Abertura de poços e trincheiras: locados em pontos anômalos dos resultados de solo e em dois pontos fora da zona anômala. Nos pontos anômalos, além da descrição, foi feita amostragem de canal (10 x 8 cm) e coletada amostras de 20 em 20 cm, à partir do horizonte B-2, na maioria dos casos.

VIII - GEOLOGIA DA ÁREA

A área trabalhada abrange litologias dos fácies São Silvestre e Serrinha, passando por uma faixa de transição entre elas, conforme já citado nos trabalhos anteriores.

O Fácies São Silvestre é marcado por forte ritmocidade em escala centimétrica de: granada-anfibólio-biotita - xisto, gonditos, granada-quartzitos, xistos manganesíferos e mais raramente níveis de biotita-actinolita xisto feldspártico, metabasito e carbonatos impuros (lentes?).

O Fácies de Transição é constituído por rochas calcosilicáticas bandadas. O caráter termal é evidenciado em todas as lâminas, sendo classificado petrograficamente como hornfels calcossilicáticos e, constituído por: quartzo-plagioclásio-actinolita-carbonato-diopsídio-epidoto-biotita-zoisita-titanita-opacos-escapolita-hornblenda-apatita-sericitita-clorita. Dentro deste fácies é possível separar-se, grosso modo, lente de rochas quartzosas, carbonáticas e às vezes xistosas, com fortes evidências de brechação, silicificação e hidrotermalismo. É nesta porção que se posiciona a zona anômala para

Pb e Zn. A porção quartzosa é classificada petrograficamente de xisto metassedimentar brechado e silicificado (hidrotermalizado) com presença de hematita e limonita na forma de poeira pigmentante (10 a 20%).

O Fácies Serrinha é restrito a posição S da área e está em contato, aparentemente, por falha com o fácies de transição. É constituído basicamente por calco-xistos e mármore.

IX - RESULTADOS DE GEOQUÍMICA DE SOLO, ROCHAS E POÇOS E TRINCHEIRAS

Do tratamento estatístico efetuado, cálculo da média e desvio padrão temos os seguintes resultados para a geoquímica de solo: (tabela a seguir)

Elemento 80 mesh AR 3:1 AR	média ppm (x)	desvio padrão ppm (s)	$\bar{x} + S$ An. 3a. ordem ppm	nº de pontos anômalos	$\bar{x} + 2S$ An. 2a. ordem ppm	nº de pontos anômalos	$\bar{x} + 3S$ An. 1a. ordem ppm	nº de pontos anômalos	valor máximo ppm	valor mínimo ppm	nº total de pontos anômalos
Cu	19,9	20,2	40,1	15	60,3	6	80,6	9	230	7	30
Pb	37,8	49,2	87,0	10	136,2	4	185,4	9	570	11	23
Pb / EDTA	7,2	16,8	24,0	12	40,8	6	57,6	10	130	1	28
Zn	64,5	61	125,6	24	186,7	3	247,8	12	580	14	39
Ni	10,5	4,9	15,4	44	20,4	7	25,3	5	40	1	56
Co	13,9	5,8	19,7	56	25,5	10	31,2	3	38	1	69
Mn	1233,7	1361,5	2595,1	36	3956,6	16	5318,1	11	8.600	94	63

Da comparação do mapa de anomalias com o mapa geológico pode-se dizer:

- a associação Cu/Ni está ligada aos corpos de diabásio (di-que).
- a associação Pb, Zn, Pb/Zn está ligada à fácies de quartzitos e carbonatos brechados e hidrotermalizados.
- a associação Mn/Co, Mn/Co/Ni, Ni e Mn mais alguns poucos pontos de Zn estão ligados à fácies calcossilicáctica.
- a associação Ni/Co, Mn/Co, Mn, Co está fracamente ligada à fácies de xistos.

Dos resultados de rocha, poços e trincheiras, os mais elevados são verificados na trincheira T-1:

Pb 10.000 ppm - 263 vezes a média no solo (38) e 17 vezes o valor máximo no solo (570).

Zn 2.100 ppm - 33 vezes a média no solo (64) e 3,5 vezes o valor máximo no solo (580).

Pb (EDTA) 570 ppm - 81 vezes a média no solo (7) e 4 vezes o valor máximo no solo (130).

Na trincheira T-1 os valores elevados estão relacionados à rocha bandada, com estratos de cores avermelhadas (5 cm) e preta (2 cm), fraturadas, e com veios esbranquiçados discordantes. Provavelmente trata-se de rocha calcossilicáctica alterada. O contato com a rocha maciça, de cor esverdeada, brechada e com muitas vénulas esbranquiçadas é nítido, e aparentemente concordante, sendo refletido dos resultados de análises.

Ainda sobre a trincheira T-1 foi encontrada uma ocorrência que está sobre a forma de filme nas fraturas, já preenchidas por quartzo. Trata-se de um metal de cor cinza chumbo, hábito maciço (?) (não cúbico) que quando atacado com reagente de Montéqui dá positivo para tálio (Tl) e prata (Ag). Suspeita-se tratar-se da Crookesita ($\text{Seleneto de Cu, Tl e Ag}(\text{Cu, Tl, Ag})_2\text{Se}$, porém sem cobre na estrutura).

Alguns poços mostraram uma tendência de valores crescentes em profundidade, o que, de certa forma, faz supor um substrato mais rico em profundidade.

RESULTADOS DE ANÁLISES QUÍMICAS DE ROCHA

Amostra	Cu ppm	Pb ppm	Zn ppm	Ni ppm	Fe ppm	Mn ppm	F ppm	Petro/ Serra	
JP-370	8	8	110		32000	40000			
JP-471	300	97	190					meta-vulcânica (?)	
JP-371A	205	26	77					(estrada DP-10)	
JP-371B	50	16	55					(estrada DP-10)	
JP-371C	50	20	56					(estrada DP-10)	
JP-471C	32	33	72				x	(estrada DP-10)	
MV-02	182	10	60	43			x	carbonato-biotita-plagioclásio-actinolita xisto ou metabasito (D1-03)	
MV-04	26	25	116				x	clorita-carbonato-biotita-actinolita-xisto com feldspato (DF-37)	
MV-07	89	13	59				x	biotita-anfibólito-xisto com carbonato (DC-22)	
MV-09	27	25	45				x	metabasito ou clorita biotita hornblendita xisto com feldspato (DC-37)	
MV-10	23	28	105				x	metabasito ou clorita biotita hornblendita xisto com feldspato (DC-37)	
MV-13	110	30	112				x	hornfels calcossilicálico (DC-44)	
MV-15	38	34	61					calcossilicáctica (D2-55)	

MV-16	110	32	128					calcossilicáctica (D3-03)
MV-17	91	1.100	1.000					quartzito brechado alterado (D3-18)
MV-18	80	92	320					calcossilicáctica (D3-30)
MV-22	186	1.600	700					carbonato alterado (T-1)
MV-23	158	3.000	1.100					calcossilicatada brechada
MV-24	27	1.400	960					quartzito brechado hidrotermalizado (T-1)
MV-25	37	3.200	1.330					quartzito brechado (T-1)
MV-26	240	450	200					veio de quartzo (T-1)
MV-31	24	32	163		x	x		calco quartzo xisto (D3-33)
MV-32	8	66	69		x			mármore serrinha (escarpa)
MV-33	48	30	71	3.165	x			calcossilicatada brechada (dolina)
MV-34	16	28	74	1.528	x			brecha calcossilicáctica (escarpa)
MV-35	4	12	240	2.500				quartzito alterada brechado (T-3)
MV-36	5	1.100	250	15.000				calcossilicáctica (?) brechada alterada (T-3)
MV-37	14	700	620	3.000				quartzito carb. alterado brechado (T-2)
MV-41	22	55	350	23.000				rocha alterada carbonosa (?) (escarpa)
MV-42	16	36	60	6.700				mármore serrinha (escarpa)
MV-43	4	47	1.250	10.000	x	x		carbonato impuro (D-3/06)

MV-44	70	1.400	1.000		2.800		x	quartzo xisto (D3-11)
MV-46	10	620	400		5.600		x	quartzito brechado (D3-16)
MV-48	11	140	250		1.600		x	quartzito brechado (D3-23)
MV-49	44	1.000	370		5.000			quartzito brechado? (D3-24)
MV-51	59	33	120		3.500		x	calcossilicática brechada e hidrotermalizada (D3-34)
MV-45	18	42	45		10.100			calcossilicática (D3-13)
MV-54	250	220	28		480		x	rocha bandada alterada com oxidos (estrada 125)

Obs.: Os pontos MV-12, 20, 21, 45, 47, 50 e 53 foram serrados.

RESULTADOS DAS ANÁLISES DOS POÇOS

POÇO P-1 02S/31S

(m)	Cu	Pb	Zn	Co	Ni	Mn	Cx Pb	
2.10	25	300	300	36	11	1.500	97	HORIZ. A1
	?	?	?	?	?	?	?	
0.30	24	380	200	37	12	2.500	99	HORIZ. B1
	—	—	—	—	—	—	—	
0.50	25	380	200	34	11	2.000	98	B2
0.70	50	750	200	57	19	6.200	100	HORIZ.
	—	—	—	—	—	—	—	
0.90	52	2.300	300	80	26	24.000	170	C + B2
1.10	25	2.500	200	53	22	14.000	120	B2
1.30	24	240	340	29	10	3.500	45	HORIZ. C
	—	—	—	—	—	—	—	
1.50	14	380	600	27	11	3.800	28	
1.70	15	580	1.000	31	11	5.400	86	
1.90	22	640	1.000	32	14	5.900	76	C
2.10	12	900	600	30	12	3.100	25	HORIZ.
2.30	10	370	700	27	10	4.100	43	

Resultados em ppm

POÇO P-2 02S/39S

(m)	Cu	Pb	Zn	Co	Ni	Mn	Cx Pb
0.10	23	160	280	39	12	2.700	35
0.30	23	530	530	44	13	3.000	79
0.50	22	320	470	41	11	2.300	70
0.70	21	230	330	35	12	1.900	44
0.90	15	230	380	37	12	1.400	68
1.10	07	160	200	30	08	1.200	110
1.30	22	690	460	43	16	4.100	120
1.50	24	590	400	47	17	4.100	85
1.70	42	370	400	46	16	2.000	60
1.90	24	430	500	45	15	4.100	100
2.10	10	610	480	49	13	5.500	100
2.30	12	340	340	45	14	3.500	60
2.50	05	320	250	38	12	2.700	58
2.70	04	170	300	33	11	1.600	55

Resultados em ppm

POÇO P-3 02S/41S

(m)	Cu	Pb	Zn	Co	Ni	Mn	Cx Pb
0.10							
0.30							
0.50							
0.70	24	360	570	28	12	2.000	110
0.90	24	900	540	43	15	5.100	260
1.10	70	750	470	38	18	3.300	160
1.30	150	1.000	600	37	19	3.200	110
1.50	180	1.700	620	46	26	5.800	200

HORIZ. B2
HORIZ. B2+C
HORIZ. C

Rocha quartzosa (arenosa) porosa, alterada, com veios mm de quartzo recristalizado, sem padrão definido (hidrotermal?)

Resultados em ppm

POÇO P-4 00/475

(m)	Cu	Pb	Zn	Co	Ni	Mn	Cx Pb
0.10							
0.30							
0.50							
0.70							
0.90	09	140	250	09	04	730	40
1.10	09	390	300	12	02	3.100	120
1.30	26	1.200	600	18	05	9.200	160
1.50	19	460	360	12	04	4.100	110
1.70	26	1.000	590	19	06	11.000	160
1.90	25	1.500	580	22	09	15.000	260
2.10	22	680	610	15	06	9.600	130

HORIZ. B2
B2+
HORIZ. C
HORIZ. C

Resultados em ppm

POÇO P-5 00/395

(m)	Cu	Pb	Zn	Co	Ni	Mn	Cx Pb
0.20	-	-	-	-	-	-	-
0.40	-	-	-	-	-	-	-
0.60	-	-	-	-	-	-	-
0.80	-	-	-	-	-	-	-
1.00	-	-	-	-	-	-	-
1.20	-	-	-	-	-	-	-
1.40	-	-	-	-	-	-	-
1.60	28	100	300	27	11	3.900	19
1.80	35	42	720	29	14	4.300	07
2.00	54	19	800	46	27	7.700	02
2.20	38	44	1.000	43	24	10.000	01
2.40	35	17	1.100	35	22	8.800	01
2.60	37	18	1.300	37	24	9.500	01
2.70	-	-	-	-	-	-	-

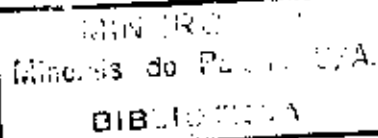
Resultados em ppm

HORIZ. B2

HORIZ. B2+C

HORIZ. C

Rocha alterada, amarela esverdeada com fragmentos de rocha quartzosa, porosa, textura grosseira, com veios mm esbranquiçados.



POÇO P-6 00/42S

(m)	Cu	Pb	Zn	Co	Ni	Mn	Cx Pb
0.10							
0.30							
0.50							
0.70							
0.90							
1.10	13	270	140	33	08	4.700	77
1.30	17	260	156	39	11	6.100	74
1.50	15	150	120	34	09	5.300	58
1.70	22	120	100	30	10	5.200	49
1.90	23	100	136	45	14	10.000	22
2.10	24	63	150	77	14	10.000	01
2.30	18	22	181	55	15	15.000	01
2.50	17	19	139	48	15	11.000	01
2.60							

Resultados em ppm

HORIZ. B2
HORIZ. B2+C
HORIZ. C

Rocha alterada de cores ocreas a marrom escuro, pouco densa, com presença de mica. Sugere rocha carbonatada.

POÇO P-7 00/46S

(m)	Cu	Pb	Zn	Co	Ni	Mn	Cx Pb
0.10							
0.30							
0.50							
0.70							
0.90	14	410	300	15	10	2.900	49
1.10	21	410	290	15	15	2.400	31
1.30							

HORIZ. B2
B2+C
HORIZ. C
HORIZ. D

Rocha alterada com cores amarelo esverdeada, provável rocha xistosa brechada.

Resultados em ppm

POÇO P-8 00/485

(m)	Cu	Pb	Zn	Co	Ni	Mn	Cx Pb
0.20							
0.40							
0.60	31	170	230	15	08	1.500	54
0.80	26	400	290	15	08	2.700	41
1.00	30	370	350	17	09	2.200	15
1.20	34	1.000	400	17	07	3.600	29

Resultados em ppm

HORIZ. B2+C
HORIZ. C

Rocha alterada, cor amarelo-vermelho - esverdeada, silicificada e hidrotermalizada com presença de estrutura xistosa e níveis com enriquecimento em manganes. Localmente aspecto de quartzo xisto. A cor de alteração amarelada pode indicar presença de carbonato.

POÇO P-10 - 06N

(m)	Cu	Pb	Zn	Co	Ni	Mn	Cx Pb
0.20	43	155	110	08	13	165	13
0.40	45	175	125	08	13	168	19
0.60	45	169	135	09	14	190	16
0.80	44	140	140	08	14	170	10
1.00	43	168	120	09	14	180	10
1.20	43	120	180	09	15	220	11
1.40	57	120	220	10	16	245	06
1.60	74	74	200	15	30	215	05

00-045m HORIZ. A-1
solo escuro arenoso

0.45-1.05 m HORIZ. A2
solo marrom argiloso.

1.05-10 HORIZ. B-1
Solo vermelho argiloso
com raros fragmentos de
rocha.

Resultado em ppm

POÇO 31 02S/34S

(m)	Cu	Pb	Zn	Co	Ni	Mn	Cx Pb
FB-3269-0.20	19	59	160	13	07	1.500	09
FB-3270-0.40	19	61	176	13	09	1.200	12
FB-3272-0.60	17	48	160	12	09	720	12
FB-3273-0.80	16	42	188	12	10	830	08
FB-3274-1.00	10	36	135	10	07	710	05
FB-3275-1.20	08	37	145	10	07	650	05
FB-3276-1.40	10	57	130	09	07	810	07
FB-3277-1.60	11	58	114	09	07	1.100	13
FB-3278-1.80	15	100	200	11	09	2.100	19
FB-3279-2.00	06	75	200	09	12	2.000	15
FB-3280-2.20	05	160	350	23	32	5.200	41
FB-3281-2.40	05	170	420	30	20	5.000	45
FB-3282-2.60	10	520	700	97	74	13.000	90
FB-3283-2.80	07	280	350	58	42	7.100	62
FB-3284-3.00	10	270	360	68	23	5.000	70

Resultados em ppm

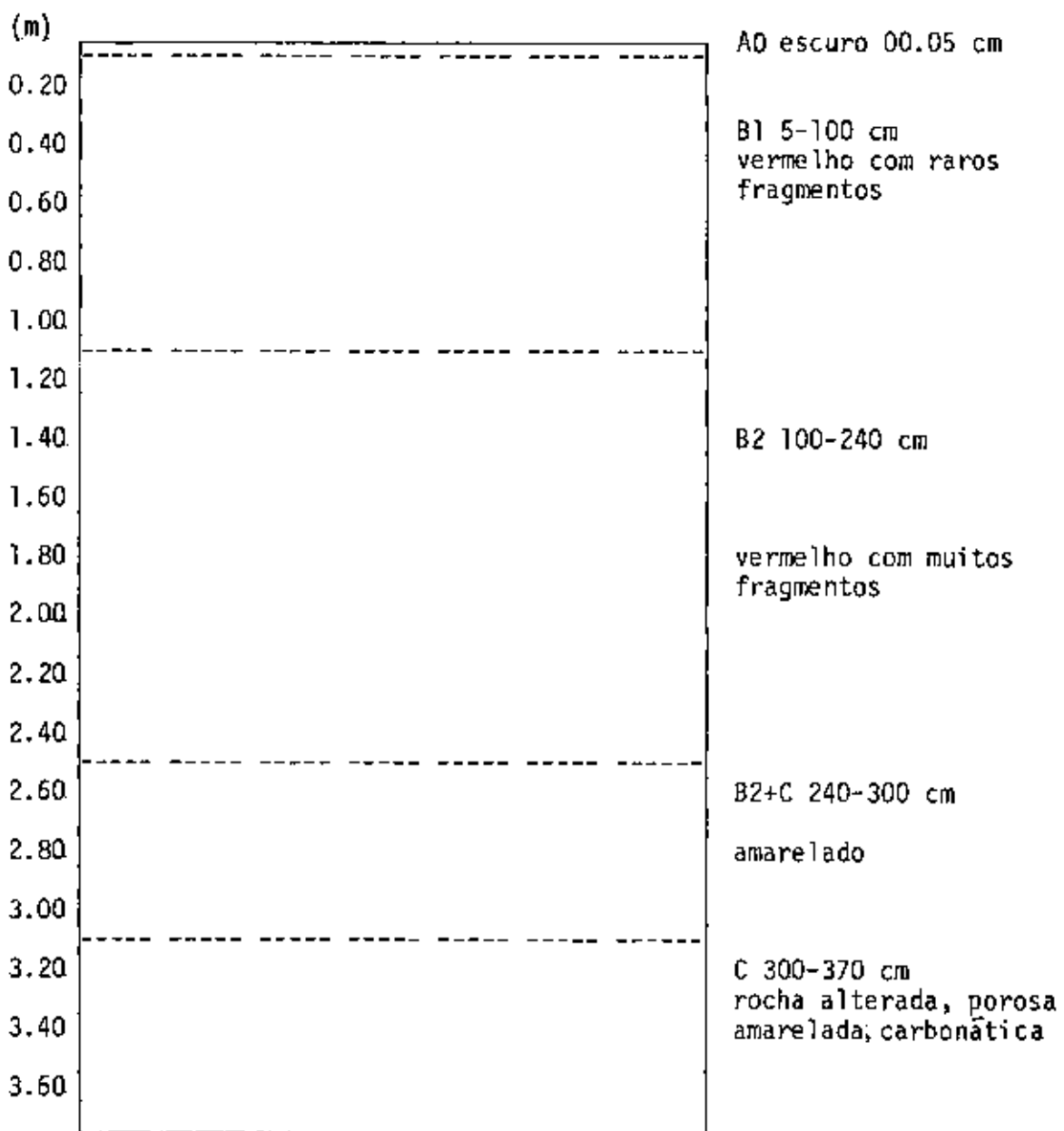
POÇO 12 02S/44S

(m)	Cu	Pb	Zn	Co	Ni	Mn	Cx Pb	
FB-3248-0.20	19	140	200	13	10	2.600	69	A0 0-10 cm
FB-3249-0.40	18	160	220	13	09	2.600	75	
FB-3250-0.60	14	120	185	12	08	1.400	62	B1 10-160 cm avermelhado argiloso poucos fragmentos
FB-3252-0.80	14	140	190	12	09	930	50	
FB-3253-1.00	16	100	150	11	09	730	37	
FB-3254-1.20	13	88	66	10	08	510	29	
FB-3255-1.40	17	80	85	10	09	530	26	
FB-3256-1.60	16	89	142	10	09	490	27	
FB-3257-1.80	28	250	630	17	12	1.900	69	
FB-3258-2.00	22	310	490	14	10	2.500	75	B2 160-260 cm solo esverdeado muitos fragmentos
FB-3259-2.20	22	450	570	14	10	3.500	75	solo argiloso
FB-3260-2.40	25	360	800	13	12	2.200	90	
FB-3262-2.60	25	420	940	13	12	2.200	60	
FB-3263-2.80	13	620	1.200	17	12	6.600	120	
FB-3264-3.00	11	480	1.000	19	14	5.800	120	B2+C 260-360 cm solo amarelo esverdeado quase só fragmentos
FB-3265-3.20	30	430	1.130	16	15	3.500	100	
FB-3266-3.40	23	480	1.700	15	12	3.500	105	
FB-3267-3.60	36	430	1.200	20	16	3.400	120	
FB-3268-3.80	24	260	1.000	24	19	4.000	81	C 360-380 cm

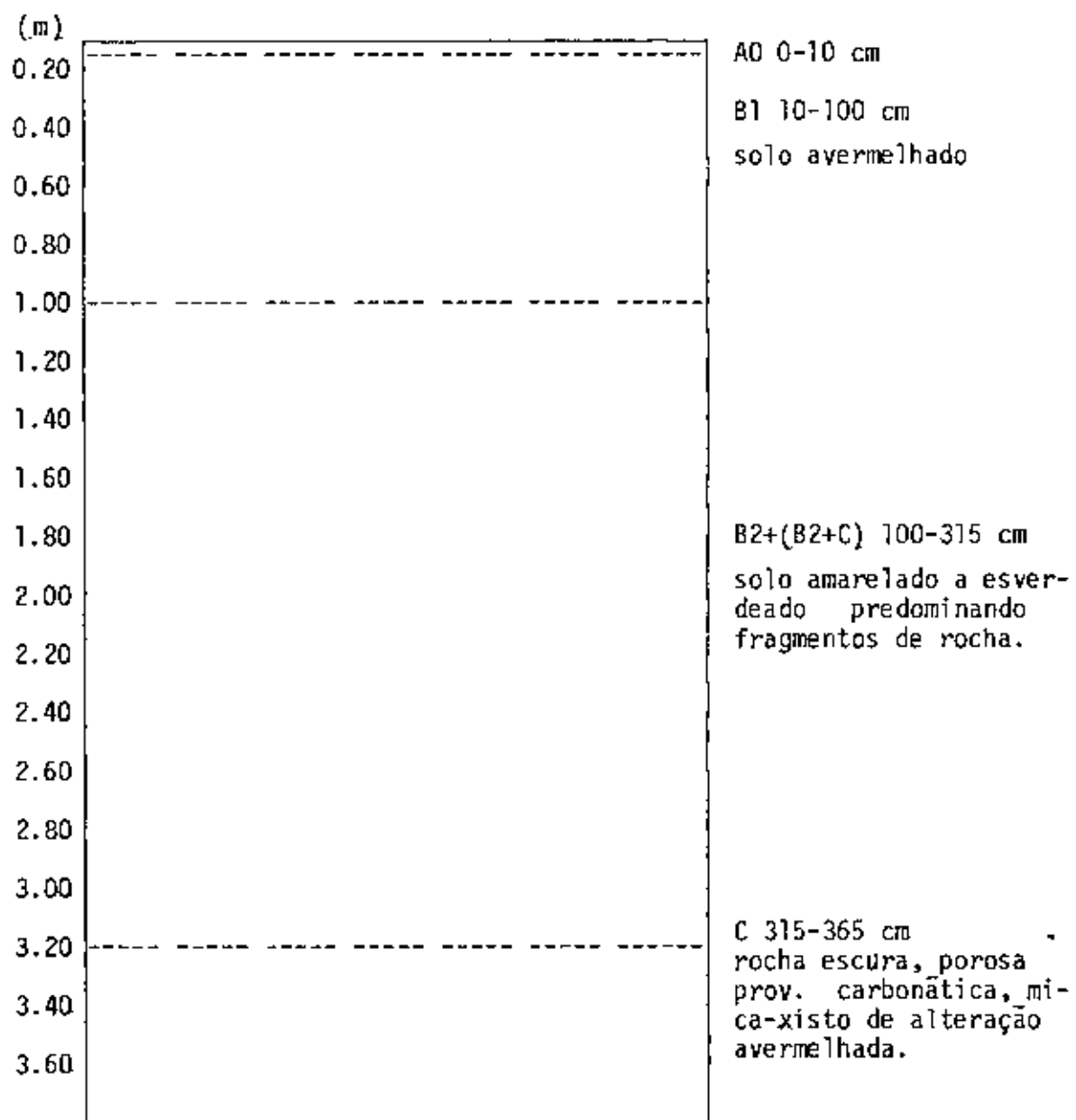
Resultados em ppm

"quartzito brechado" rocha silicatada intensamente fraturada, provável origem carbonática(?) cor de alteração verde amarelada, fratura com crescimento de quartzo formando drusas. Vénulas esbranquiçadas (sílica)(preenchendo as fraturas).

POÇO 04S/54S P 13



POÇO P-14 02S/53S



POÇO P-15 00/53S

(m)	Cu	Pb	Zn	Co	Ni	Mn	Cx Pb	
FB-3233-0.20	14	86	210	06	05	290	23	A0 0-03 cm
FB-3234-0.40	11	91	210	06	03	310	25	A1 03-50 cm marrom escuro com raízes.
FB-3235-0.60	09	65	260	04	03	620	14	B2 50-90 cm
FB-3236-0.80	08	60	200	05	04	620	11	avermelhada com fragmentos.
FB-3237-1.00	13	84	300	08	06	490	13	
FB-3238-1.20	17	77	460	08	07	830	08	B2+C 90-170 cm
FB-3239-1.40	17	87	370	10	10	1.500	07	Límite com o horiz. C indefinido.
FB-3240-1.60	31	120	410	10	07	1.700	06	
FB-3241-1.80	33	100	260	09	07	1.900	09	C 170 a 300 cm esverdeado marrom possivel origem carbonática níveis micáceos (calcoxistos?).
FB-3242-2.00	22	250	250	09	07	3.700	13	
FB-3243-2.20	12	270	290	11	07	3.500	18	
FB-3244-2.40	10	260	390	07	03	3.800	14	brechação e vénulas também presentes (poucas)
FB-3245-2.60	13	190	440	05	02	2.700	05	aspecto poroso. Aparentemente tem níveis mais escuros (talvez mais carbonática).
FB-3246-2.80	06	190	280	04	02	3.200	05	
FB-3247-3.00	09	320	630	04	02	1.900	04	

Resultados em ppm

POÇO P-16 02N/48S

(m)	Cu	Pb	Zn	Co	Ní	Mn	Cx Pb	
FB-3193-0.20	14	150	90	04	04	130	40	A0 0-06 cm
FB-3194-0.40	16	160	130	03	03	140	45	A1 06-60 cm solo marrom arenoso-argiloso com raízes
FB-3195-0.60	16	150	89	03	03	200	54	B2 60 cm 80 cm matriz domina com fragmentos
FB-3196-0.80	20	180	105	05	04	160	60	B2+C 80-120 cm
FB-3197-1.00	20	170	135	06	04	160	47	C 120-160 cm rocha esbranquiçada muito venulada, composição silicosa, cavidades de dissolução
FB-3198-1.20	20	110	162	04	02	130	31	
FB-3199-1.40	39	120	182	04	01	140	25	
FB-3200-1.60	17	76	280	02	01	53	15	

Resultados em ppm

POÇO P-17 00/48S

(m)	Cu	Pb	Zn	Co	Ni	Mn	Cx Pb	
FB-3201-0.20	30	280	300	11	05	3.400	94	B2 vermelho
FB-3202-0.40	29	280	290	11	03	3.600	91	meio vermelho, meio ver de níveis pretos
FB-3203-0.60	29	170	300	08	03	4.500	52	
FB-3204-0.80	24	460	440	16	09	17.000	200	10 cm vermelho e verde 10 cm preto
FB-3205-1.00	16	98	320	06	03	3.400	40	verde
FB-3206-1.20	13	220	290	11	06	5.900	91	vermelho
FB-3207-1.40	25	380	310	15	15	6.800	210	verde - 1cm preto
FB-3208-1.60	31	440	163	15	05	4.700	260	verde uma passagem do vermelho
FB-3209-1.80	20	770	300	17	06	12.000	220	verde, 5 últimos cm pre to
FB-3210-2.00	18	750	390	25	05	8.300	260	verde c/intercalação ver melha
FB-3212-2.20	20	1.100	330	30	17	13.000	280	verde c/intercalação ver melha
FB-3213-2.40	13	850	760	18	03	10.000	250	verde c/intercalação pre ta
FB-3214-2.60	10	320	270	18	23	7.300	180	verde c/intercalação pre to e vermelho
FB-3215-2.80	27	880	500	45	42	16.000	270	" " "
FB-3216-3.00	22	430	360	32	33	11.000	200	" " "
FB-3217-3.20	15	290	520	35	54	9.700	200	" " "
FB-3218-3.40	14	200	480	26	33	8.500	100	" " "
FB-3219-3.60	15	200	370	30	32	7.700	100	" " "
FB-3220-3.80	15	190	320	27	20	5.300	91	verde c/intercalação pre to e vermelho.

Resultados em ppm

TRINCHEIRA T-01
RESULTADOS DE ANALISES DAS AMOSTRAS DO PISO DA TRINCHEIRA (PPM)

	2	4	6	8	10	12	14	16	18	20	(m)
	FB-3222	FB-3223	FB-3224	FB-3225	FB-3226	FB-3227	FB-3228	FB-3229	FB-3230	FB-3232	
Cu=	08	18	46	45	78	30	10	14	46	28	
Pb=	550	1.700	7.000	2.600	10.000	170	49	89	69	270	
Zn=	800	800	1.000	1.100	2.100	290	135	147	200	200	
Co=	12	14	40	22	60	12	05	13	12	18	
Ni=	07	05	13	05	05	04	03	08	04	13	
Mn=	5.000	7.300	16.000	6.200	14.000	1.400	480	2.300	1.500	7.800	
CxPb=	170	240	560	500	540	34	20	31	17	40	

Rocha alterada, bandada, interestratificada com estratos de cores avermelhada (5 cm) e preta (2 cm) e preta (2 cm), brechada e presença de veios mm esbranquiçados (quartzo) discordantes. Ocorrência de metal de cor cinza chumbo com presença dos elementos tâlio (Tl) e prata (Ag).

Rocha maciça, alterada, brechada e alta incidência de vênulas (mm) esbranquiçadas discordantes cor de alteração esverdeada.

X - CONCLUSÕES E RECOMENDAÇÕES

O Alvo Bugio vem apresentando resultados promissores desde a fase regional (geologia e geoquímica de sedimento de corrente), passando pela de semidetalhe e confirmados em nível de detalhe.

Nesta fase os resultados mais interessantes foram os de rocha e posteriormente as amostras da trincheira T-1. O valor de 10.000 ppm para chumbo aumenta muito a expectativa sobre a área, além da ocorrência do mineral desconhecido, com prata e tálio como constituintes.

A ocorrência cadastrada está sob a forma de filme, preenchendo fraturas, o que faz supor um processo de hidrotermalismo como responsável pela mesma.

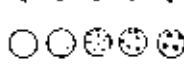
Apesar do valor elevado em rocha para chumbo, nenhuma ocorrência deste bem mineral foi constatada, ficando pois em aberta a possibilidade da existência de mineral de minério deste elemento associado ao processo hidrotermal.

Acresce ainda o metamorfismo ternal generalizado sobre o alvo, bem como a presença do fácies carbonático que estatisticamente é o maior responsável por jazimentos de chumbo. Este fácies é também muito semelhante àqueles verificados na Mina do Perau.

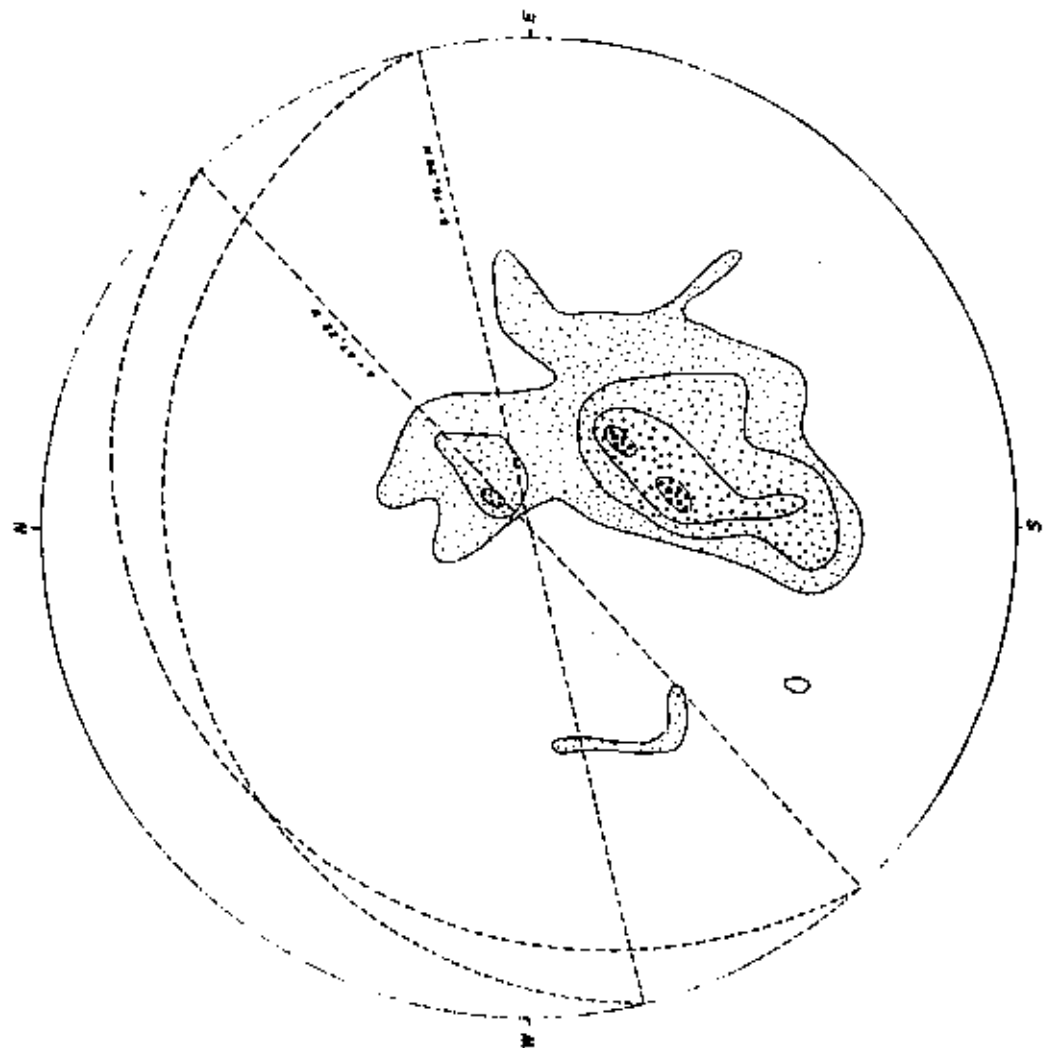
Concluindo podemos dizer que os trabalhos de pesquisa devem continuar, porém, agora através de furos de sonda como sugerido no plano de trabalho para 1984.

POLOS DA XISTOSIDADE S/Visc DA ÁREA DO BUGIO [180 medidas]

POLODA XISTOSIDADE S/Visc SOBRE A FÁCIES
CALCOSILICATICA MAIS FÁCIES BRECHA DA E
HIDROTERMALIZADA [51 medidas]



PÓLO DA XISTOSIDADE SÃO DA FÁCIES
BRECHADA E HIDROTERMALIZADA
(zona anômala) (20 medidas)



PETROGRAFIA

DF/27 MV 01 001-105/83
afrente de 100 m. da estrada
máx. 100 m. de altura
lat. 23° 54' 22" S - long. 46° 20' E (C.M.C.)
elevação: 1.100 m.s.m. - mapa geológico do regime de
S. Silvestre 1:25.000 (1971)

DE ALGODÃO RIO: Passagem de águas nitrosas de sítio (Guadalupe
Lindo) com passagem de ventos (luz?), momentaneamente das

águas nitrosas para águas limpas e claras.

ANALISE MACROSCOPICA

Brancigelo
graxo (cera graxa)

brancos ricos

a madeira

brancos graxo

brancigelo

ANALISE MICROSCOPICA

Umidade: 100% - 100% - 100%

Umidade: 100% - 100% - 100%

Fibras: 100%

Mais componentes

20	80-90	100
21	10-20	110
22	0-10	120
23	0-10	130
24	0-10	140
25	0-10	150
26	0-10	160
27	0-10	170
28	0-10	180
29	0-10	190
30	0-10	200

11) Descrição das Ressacas e Relevo das Testemunhas

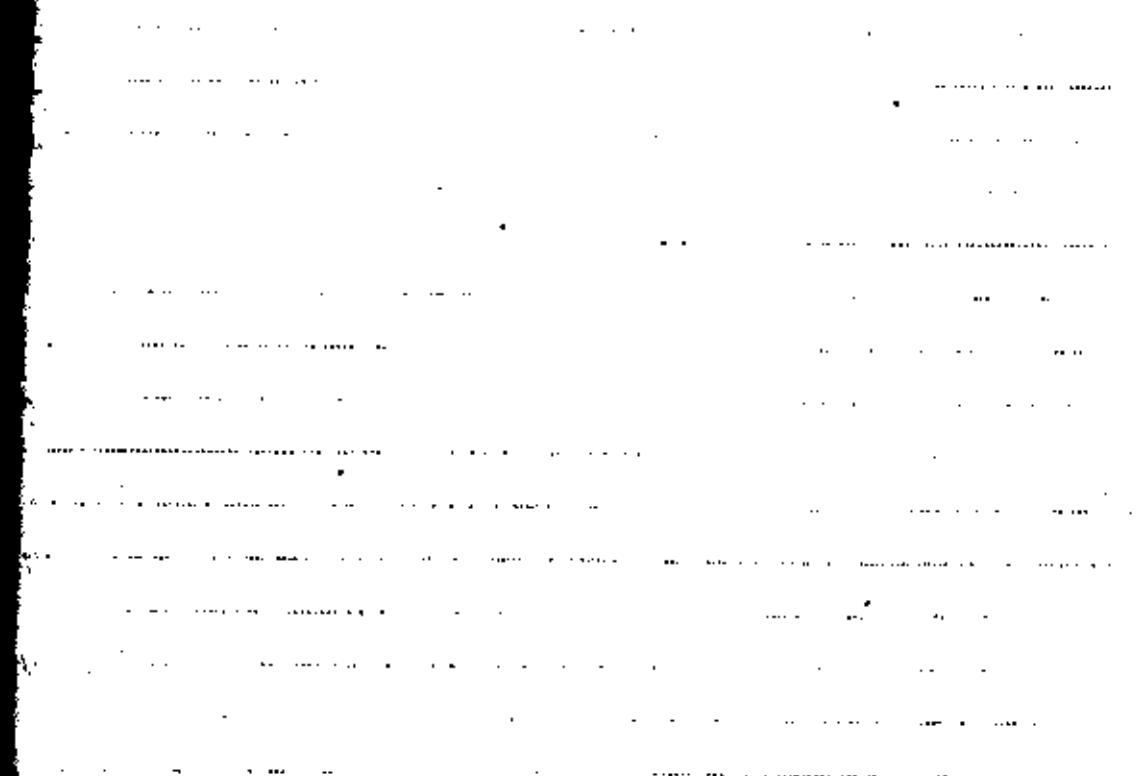
A mostra se encontra à MU-03. Ver a descrição da amostra.

Xisto metassedimentar brachado e tabicado
na face lisa

Alcatrazes (Algarve) - DS-3 - MV-02 - 1973-1983
Ribeira de Ribeiro - Pachos
Machado e meus filhos - C.P.S.A.
Localização - 1.100.000

11.11.1983

Clínico de Afloramento
Côncavo calcarenoso
Redondo liso com intervalos em
Sulcado alternado. Possui
metabolito.



ANALISE MACROSCÓPICA

coroa
fina
grauoblastica

interior... fraca

—

exterior... grava (grossa) ... sensível(vel?)

metabolito.

ANALISE MICROSCÓPICA

1. Ribeira de Ribeiro - 1983

2. Ribeira de Ribeiro - 1983

3. Ribeira de Ribeiro

1. Olivino (cristobalita)	40.	10
2. Ilvaquênio	20.	10
3. Biotita	15.	10
4. Carbonato	10.	10
5. Opaços	3.	10
6. Quarzo	5.	10
7. Cleita	3.	10
8. Turmalina	pr.	10
9.	—	10
10.	—	10

I. Tipologia dos Minerais e Relações Texturais

A amostra apresenta uma orientação principal contida a baixo ângulo por uma cleiração catódística.

É constituída por um fundo fácico formado por ilvaquênio oligocristalizado, algum quartzo e instâncias de amphibolito alterados para carbonato, que descrevem uma estrutura lequeirante-foliada. Observando-se a distribuição dos foliões-patões e dos amphibolitos, verifica-se, com uma certa dificuldade, vulgarização de textura blastofaciática e/ou blastoperíptica.

Com muita frequência nota-se a presença de microperíptolitos (com formas irregulares) de minerais opacos (sulfetos) com uma cunha de biotita de plecionismo amontojado perto a marrom arroxeado (Fe^{+2} em Ti^{+4} e Fe^{+3}). Estes microperíptolitos são pós-tectônicos, possivelmente por um evento hidrotermal. A biotita de cunha foi possivelmente formada pelo exúvio de Fe, introduzido na rocha durante o evento hidrotermal que deu origem à formação dos opacos. Associada ainda aos núcleos de opacos e biotita constata-se a presença de minerais típicos de turmalina e raro carbonato que reforçam a possibilidade da origem hidrotermal para estes minerais.

São também destes vieses constituídos por cleita, óxido de Fe e carbonato dissimilados predominantemente às bordas dos vieses, de origem sistematicamente hidrotermal.

A compreensão mineralógica da rocha e a possível origem de suas sigmas vulcânicas, exigem uma origem a partir de uma rocha ígnea básica.

A rocha descreve metacristalismo hidrotermal (branco graxo) e é facilmente resolvível, esfoliosa, coesiva e hidrotermalizada.

...Biotita-carbonato-biotita-fácico-área de cristalização e hidrotermal.

20/07 03/08 17/05/85
Sítio do Dr. Magalhães - Rio das Laranjeiras
Mossoró - Rio Grande do Norte (Censo 1980)
Latitude: 05° 22' S - Long. 35° 45' W
Altitude: 1500 m. S.M.N.

ANALOGIA DE ALIMENTO

Quintilo brachado (lulas caladas)

ANALOGIA MACROSCÓPICA

abangragedo - espécie
a midin (lulas milhas)
garras blusticas

desidratado, procedente de laranja

100 g

100 g

Quintilo brachado

ANALOGIA MICROSCÓPICA

100 g de laranja desidratada

100 g de laranja

100 g de laranja

100 g de laranja

CERTIFICADO DE ANÁLISES PETROGRÁFICA

Endereço.....Minas Gerais.....Endereço.....Curitiba, PR.....
 Nro. KM-03.....Tipo de Amostra. Manual e. 14x14x14.....
 Classificação e/ou relações de campo (outras informações do interessado).....
 A amostra provém de São Silvestre, Foz do Iguaçu, Paraná.....

DESCRIPÇÃO

Características..... Estrutura..... Brochada.....
 Textura..... Grau de intemperismo..... Muito..... Ataque HCl.....
 Reações..... Vermelhas brancas, separaram fragmentos de rocha fina afanítica em ta-.....
 milimétricos a centímetros. As vermelhas estão, por sua vez, afetadas por.....
 fragmentos em folhas de rejeito milimétrico.....

DESCRIPÇÃO

Textura..... Granoblastica.....

Granação: Em rocha aproximadamente equigranular.....
 Em rocha inequigranular: Matriz ou base Fragmentos; 0,01-0,05 mm
 Hélio-componentes Nêmesas; 0,3-0,8 mm....

Composição modal (% vol.): Estimada visualmente X Calculada

Mineral	%	Mineral	%
Quartzo.....	60-90	08)
Óxidos de ferro.....	10-20	09)
Micas (felspatóide, leucocristal) tr.....	tr	10)
.....	11)
.....	12)
.....	13)
.....	14)

Descrição dos minerais e relações texturais Os fragmentos são compostos da.....
 Esto. granoblastico em gran. muita fina e. formando cristais. alongados. iso-orientados. e. rara. vez, deformados. Contém grande quantidade de hematita e. limonita. forma de poeira. pigmentante. também. escavulados. entre os grãos. e. no longa. superfícies de deslocamento. Inclusões. e. alguma. minúsculos. cristais. carbonato. (calcita). também. seriam detectados. e. inclusões. A estrutura atual não.....
 é dividida de trás. fragmentos pertencentes a uma rocha xistosa. brochada. Atual-.....
 te. intrusivamente. hidrotermalizada. (glicofíspata). A nr. KM-01. enviada para...
 para..... mafite. custer. também. por. estruturação. residual. que. o. xisto. tem...
 e. cristal. nácar. um. mineral. ilite.....
 e. vermelha na coréia. de. quinta hidrotermal. e. alguma hematita.....
 Classificação. Ilito. mafite. mediano..... Brochado. e. silicificado.....

Data/...../.....

Análisis.....

São Pedro DR/37 MV 04 11/10/83
no Ribeirão Meio Chico, no Rio Pardo
fluvial
Altura 5422-x-C-III 2000 (base 1500)
Fazenda - Rio Grande do Sul. Reg. S. Estrela
125.000 101 121

ção de afloramento. Pedras calcáreas de grande, baixas valas
muito escoradas.
Ribeirão de pedra branca, foliolado, muito escorada.

SCRIÇÃO MACROSCÓPICA

peças escamas
mais
e granular

composto predominantemente escorada
e 60% de cinza
distintas em forma

luzes

SCRIÇÃO MICROSCÓPICA

100%

100% Ribeirão Meio Chico

100% granular

100% base

Ribeirão Meio Chico

Achatolita	25	mitobita
Flujoaluminio	32	trumelina
epita	20	(3)
Quartzo	15	(4)
Clorita	5	varios : clorita + carbonato +
carbonato	5	(5)
Opaio	5	(6)
Alvorita	2	(6)
Apofita	3	(8)
Eritao	pe	(9)

III. Densidade dos Minerais e Relações Texturais

A amostra exibe textura granulopodoflástica e monomórfica. Nota-se uma orientação de cristais de basto, te evidente e já exundária que são cortados a baixo ângulo por microfissuras obliquamente punchiladas por clorita, quartzo elongado e carbonato. Nota-se um fundo fílico constituído por quartzo e feldspato pouco seixitizado, sobre o qual se distribuem os microfissões e opacos. O amphibolo obtém-se com pouca frequência para carbonato, opacos e clorita.

Treata-se de uma rocha de possível origem vulcânica de composição intermediária (tipo bálico?), ou mais remotamente a partir de uma rocha plástica migra.

Obs: Faz-se aditar mais amostras para se confirmar a possibilidade de textura blastoflástica.

... clorita - carbonato - basto - actinolita visto poligonal

DP/54 ANO 05 - 01/03/15

Araçatuba - São Paulo - Brasil

MUNICÍPIO
UF SP - CG-22-2-C-00286-6 (Censo 2010)

DEPARTAMENTO DA REG. DE S. SIMEÃO 120-100

FOLHA 1-11

ANALISE DE AFLAGAMENTO: ossos, dentes, fôtons, dentes, etc.
de restos ósseos provenientes de morte violenta (homicídio).

ANALISE MACROSCÓPICA

Características ósseas:

- Fratura
- Ligamentos
- Articulações
- Permeabilidade
- Coloração

ANALISE MICROSCÓPICA

Características ósseas:

- Em Bruto
- Em Seco
- Residuais
- Residuais

10

11

12

13

14

15

16

17

18

19

20

P: Peculiaritas Minerais e Relações Texturais

Banda 1

mineralogia: carbonato, amphibolito (tremolita?), flogopite, opacos
 textura: granular-metabólastica

granulação: fina

classificação: flogopita - amphibolito - cátro raro

Banda 2

mineralogia: carbonato, flogopite, amphibolito (- raro), opacos.
 textura: granulítica

granulação: fina

classificação: amphibolito - flogopita - cátro raro

Banda 3

mineralogia: diópsidio, carbonato, feldspato, titanita, amphibolito (- raro), opacos.

textura: granulítica e parquileítica

granulação: fina

classificação: cátro silicatada hemfísica

Banda 4

mineralogia: flogopita, clorita, amphibolito, carbonato, titanita, biotita, opacos.

textura: lepidolítica. A banda é quase que essencialmente constituída por minerais maficos. A sua textura é dada por uma orientação paralela.

lio Silvestre DP/54 1405 1968/13
Faz. Mendonça rocha
Nº 1000
QUADRILHÃO 56-32-X-C-III 2NE-E (1:50.000)
TOPOGRAFIA da Reg. de S. Sebastião 1:25.000

1000 1-X

SCRIÇÃO DE AFLORAMENTO

mulgação: fina

infiação: biotita - clorita - flogopita zircô

nda 5

mineralogia: actinolita, quartzo, carbonato (100).

strutura: grossamente tabular.

mulgação: fina

infiação: actinolita zircô

Observam-se ainda bandas constituídas quase que exclusivamente por minerais microscópicos ou por amphibolitos.

A rocha apresenta-se bastante fraturada. É comum a ocorrência de veios de carbonato calcitizado, fibrolita (?) e clorita, possivelmente formados por processo hidrotermal. Estes veios podem cortar a existência da rocha, ou, acompanhá-la a orientação da rocha.

As bandas são milimétricas, de centímetros a 20 cm. A sua posição é compicional.

Foi visto ainda microfissões que labastos de minerais esparsos que por suas formas assumem planos a típica.

A rocha foi afetada por metamorfismo regional que fez, e, possivelmente, por um evento hidrotermal.

Brasil

29/70

AV06

Rep. Argentina (Fundação de Pesquisas)

Arg. 1970-1971 ZNC & CNEU 10000
reunião da Prof. São Silvestre Ribeiro

100-120

O DE ALLOGAMENTO Observações perto do dique, fonteiras,
de rios com coletânea de peixes.
Faz... de socalo comum com presenças de rios Rep.
(Socorro?) e de sulhofa (Pinha)

ANALISE MACROSCOPICA

peixes e exames
fina
grau de classificação

incipiente 20°

20 dezenas

desco moço, grande

mais comumente infarto

ANALISE MACROSCOPICA

Exame de exames de exames

Exame de exames

Exame de exames

Exame de exames

calcônato	11) <u>Vios</u>
diópsidio	12) <u>cátita</u>
quartzo	13) <u>Quartzo</u>
plagioclásio	14) <u>clerita</u>
epois	15) <u>flogopita</u>
	16) <u>actinolita</u>
	17) <u>litosita</u>
	18)
	19)
	20)

1. Classificação dos Materiais e Relações Texturais

A amostra exibe textura granoblástica intensamente foliada ou bichada. Observam-se microcristais de diópsidio foliados, englobando carbonato, quartzo, plagioclásio, litosita e epoiso. A rocha é cortada por veias de cátita, quartzo, clerita, flogopita e actinolita, de possível origem hidrotermal.

Nas zonas onde a rocha foi mais bichada nota-se uma ligante cintagem das minerais formados nas folhas.

(d) Les échanges des marchands et les achats locaux
 sont effectués par la vente de biens et services. La vente
 est effectuée par l'intermédiaire d'un agent ou d'un vendeur.
 Les achats sont effectués par l'intermédiaire d'un acheteur ou d'un
 acheteur. Les échanges sont effectués par l'intermédiaire d'un
 agent ou d'un vendeur. Les achats sont effectués par l'intermédiaire d'un
 acheteur ou d'un acheteur.

100	-	1000	Afrique
101	-	1001	Asie
102	-	1002	Europe
103	-	1003	Méridionale
104	-	1004	Nord
105	-	1005	Océanie
106	-	1006	Russie
107	-	1007	Amérique
108	-	1008	Maghréb
109	-	1009	Turquie
110	-	1010	Asie centrale
111	-	1011	Amérique latine
112	-	1012	Australie
113	-	1013	Inde
114	-	1014	Cameroun

	Percent		Molar
• Mica-gleíssio	28		11
• Actinolita	25		13
• Biotita	20		10
• Quartzo	12		14
• Opaiss	5		15
• Clorita	4		16
• Calcopirita	3		17
• Apatita	2		18
• Titorita	1		19
10) Turmalina	pr.		20

D) Peculiaridades Minerais e Relações Texturais

A amostra exibe textura granulopeloblastica e raramente tabular. Localmente desenvolvem-se micropequiloblastos de biotita, actinolita e titorita. A cintagem da rocha é dada por uma cistoidade $S_1 \parallel S_0$ bastante desenvolvida.

Um agregado de quartzo e feldspato sienitizado forma um fundo filoso sobre o qual se desenvolvem os minerais maiores. A clorita pode estar intercristalizada com a biotita.

Traça-se de uma rocha de possível origem vulcânica, de composição intermediária (tufo básico), ou remetendo a partir de uma rocha plutônica marginal.

Amostra correspondente à MV-04.

Biotita - actinolita visto fitoquímico
14/06/83 em Lapa Nova

Brasil 1986 de 136 08-09 1986/87

M. da Paz Litorânea, Rio das Pedras

em 1986-87-88-89-90-91-92-93-94-95-96-97-98-99-2000
fazendo parte da Região São Paulo 125000

100 100

DE ALGODÃO 12% de sementes fundidas verde escuro e
claro, embutido.

CAO MACROSCOPICA

se. se exfolia
e faz
germabilização

Blomberg Verde

de longe

Brilho grande, suave?

apresenta aderência?

CAO MICROSCOPICA

De Ribeirão Preto - SP - Brasil

De 1986 a 1990

Na base

Não compactadas

1) feldspássio	27	11)
2) hornblenda	25	12)
3) clorita	20	13)
4) quartzo	10	14)
5) clorita	7	15)
6) carbonato	5	16)
7) opacos (sulfeto)	3	17)
8) fibrolita	2	18)
9) apatita	1	19)
10) aluminita	pr.	20)

D) Freqüência dos Minerais e Relações Texturais

A rocha exibe bandas com textura granular-feldespática, em orbídio, intercaladas com bandas de textura granular-feldespática, ricas em minerais miacianos. Em alguns pontos, nota-se a presença de textura relicvial blástica. Observam-se microfissuras preenchidas por carbonato.

A rocha apresenta uma cintagem de xistosidade principal Ss//Ss e uma clerogram de fatura.

Trata-se de uma rocha cuja composição mineralógica e texturas relicvias sugerem uma origem a partir de uma rocha ígnea de composição básica. Foi optada por metamorfismo regional de grau fraco e rhematomorfismo evidenciado pela alteração da hornblenda para clorita e carbonato.

.....Mafólico ou clorita-hornblenda xisto feldespático
15.06.83 *Ass. Pet. Núia*

Sin número DE/38 en el año 1944 con 13-18/53

Af. Rec. Registral de la Junta de Seguro Social

Perito

Último 26-8-6-09 ante este Oficio
constitución de ley Sato Silvestre

110 120

DE AFLORAMIENTO Suelo & rocas revestidas con musgo
verde, o más visiblemente se observa.

.....

MACROSCÓPICA

rocas grandes y bloques

rocas

rocas

MICROSCÓPICA

En Roca se observa:

En la parte grande,

Masa de base

Masa compactada

1) hornblenda	48.	11)
2) plagioclásio	25.	1.1.
3) quartzo	30.	13)
4) biotita	7	14)
5) ópacos	5	15)
6) clorita	3	16)
7) apatita	1	17)
8) olávitá	1	18)
9) titanita	pr	19)
10) carbonato	pr	20)

C) Distribuição dos Minerais e Relações Texturais

A amostra exibe textura granoblastica e lepidoblástica. Observa-se uma orientação de ristosidade bastante evidente, interceptada por uma cleiração de fatura.

A rocha apresenta um fundo fíltico, granoblastico com tendência à riscuncação, formado por plagioclásio parco sienitizado e quartzo. Sob esse fundo fíltico desenvolvem-se cintais de hornblenda e biotita. A hornblenda mostra cintais com terminações irregulares e é substituída por clorita, ópacos e, mais raramente, por carbonato e biotita. A biotita forma laúrlas de bordos irregulares, às vezes, intercruzadas com clorita.

Bons minérios acessórios foram iostos apatita, olávitá e sulfatos. Os sulfatos assumem formas quase regulares difundindo-se assim nos espaços resultantes da alteração dos amfíbolios.

A composição mineralógica (% p/p) segue tratando-se de uma rocha básica afetada por metanorfismo regional e granular.

Geol. Instituto
Dpt. Cen. Geog. Sist. Físico-Químico e Mineralógico
Brasília
C.E.P. 242-22-7-0-01 ZNE-0 Anel 111 m
LEIA DE 05.05.1974 Reg. de S. Paulo 1.025.070

110 170

O DE ALTOAMENTO
Mármore feitos por gesso, comundantes, dissolvidos
(mais claramente) composta de sulfato (gipsita?) e/ou
carbonatados. Blocos de quartzo visíveis.

ANALISE MACROSCÓPICA

Argamassa

Unidades

São

ANALISE MICROSCÓPICA

Pág.

Em Rocha e em calcreto

Em rocha e em calcreto

Máter. em base

Máter. compõentes

31		11)
21		12)
31		13)
41		14)
51		15)
61		16)
71		17)
81		18)
91		19)
101		20)

D) Descrição dos Minerais e Relações Texturais

Corda 1

cor - verde esverdeado	%	%	%
mineralogia: quartzo - 25		biotita - 20	olivita - pr
plagioclásio - 30		apatita - 2	titânita - 1
hornblenda - 35		clorita - pr	epidoto - zoisita - pr
minerais secundários: carbonato, epidoto - zoisita, clorita (muito)			
produto da alteração da hornblenda			
silita - produto de alteração dos plagioclásios			

textura: granulometabólica e granolepidoblastica. Uma dimensão de rastreadade.

minerais acessórios: ópacos, apatita, titânita, olivita

metamorfismo: regional de grau parcial

classificação: biotita - hornblende zistos feldespáticos.

Corda 2

cor: verde clara	%	%	%
mineralogia: quartzo - 16		actinolita - 30	ópacos -
escafolita - 35		titânita - 3	
epidoto - zoisita - 30		plagioclásio - 7	
carbonato - 15		apatita - 1	

minerais acessórios: apatita, titânita, ópacos

textura: granoblastica com sinal de catodase

metamorfismo: contatto

classificação: hornfels calcosilicático

6.5.1968 26-44 M-43 13.5.1968

Off. Río Magdalena (parte) - 1000 msnm

Flora: 50% bosque seco, 20% campo llano
y cultivos de Reg. Saco-San Blas.

100 100

DE ATOROAMIENTO Ofreció lo de visto. No dio datos de cultivo
esta, color grisáceo

10 MACROSCÓPICA

pectro

alizadas

10 MICROSCÓPICA

Características: hoja plana

laminilla gruesa

Maloz de base

Maloz compuestas

	Percent		Percent
1) plagioclásio	22	11) apatita	
2) actinolita	17	12) scvita	
3) quartzo	15	13)	
4) biotita	10	14)	
5) escapolita	10	15)	
6) titanita	5	16)	
7) epidoto	5	17)	
8) clorita	5	18)	
9) opacos	5	19)	
10) carbonato	3	20)	

By Peso/Massa dos Minerais e Relações Texturais

A amostra exibe textura gneissística com foliuras precedidas por óxido de Fe. É semelhante à MV-14.

Geossistemas Geomórficos colossisticos

Data 15. 06. 83

Análise René Viana

São Geraldo 26/47 nro 14 dia 13/12

em M. Ribeirãozinho MUNICIPIO de São Geraldo

Piauí

COLHEITA 22-X-C-77 Lote 6 1000 m²

FOLHA GEOLOGICA da Região de São Geraldo

110 120

ÇÃO DE AFLORAMENTO. folha muito alterada, amarelada, levemente
desidratada, com perda de consistência e perda de cor.

ÇÃO MACROSCÓPICA

cor

medio

grana blasta

temperatura

ato fogo

identificadas, granito folhado, brilho

grão 124 Grão 2

ÇÃO MICROSCÓPICA

Nó

Em Recha estrutura de espinhos

Em recha irregular

Mais ou base

Mais componentes

1) plagioclásio	—	11) opacos
2) actinolita	—	12)
3) quartzo	—	13)
4) epidoto-zássita	—	14)
5) escapolita	—	15)
6) biotita	—	16)
7) apofilita	—	17)
8) titanita	—	18)
9) mica-silícos	—	19)
10) sinuata	—	20)

D) Descrição dos Minerais e Relações Texturais

A amostra exibe textura granoblastica e perfeiblastica com sinais de catodase. Os perfeiblastos de escapolita, epidoto-zássita e actinolita têm formas irregulares e englobam inclusões de quartzo, titanita, opacos e, às vezes, feldspatos. A catodase foi observada através de minifissuras que cortam a rocha e põem catodase dos minerais zássita em certas localidades.

Trata-se de uma rocha de metamorfismo de corte fácil, hemblenda-hornfels.

Hornfels classificativo

15.06.83

Analista: Rose Afina

São Silvestre

POSIÇÃO D-3/6 amostra n.º MU 43 DATA 28/10/83

MUN. Angra dos Reis
BAIRROS / OSCAR

TIPO DE AMOSTRA rocha

QUADRÍCULA

FOLHA GEOLÓGICA Mapa Geológico da Região de São Silvestre

F1 F2

CÂO DE AFLORAMENTO rocha bandada, esbranquiçada à cinza
e, calcosilicática (bastante silicosa) os bandas
negras escuro são pintalgados de brancos. Verrugas
escamas e patinamento intenso

SCRIÇÃO MACROSCÓPICA

cor vermelha a esbranquiçada

textura fina

grauvárias

intemperismo

RCI cerca fragmentos

não identificados quartzo, carbonato

microuracolito

SCRIÇÃO MICROSCÓPICA

textura

granulação:

Em rocha aproximadamente equigranular

Em rocha Inequigranular

Matriz ou base

Mineral	%	Mineral
1) carbonato	—	11)
2) quartzo	—	12)
3) opaço	—	13)
4) sericitá	—	14)
5)	—	15)
6)	—	16)
7)	—	17)
8)	—	18)
9)	—	19)
10)	—	20)

D) Descrição dos Minerais e Relações Texturais

A amostra acha-se basicamente constituída por carbonato e que localmente nota-se a presença de finas folhas de sericitá. Os opaços aparecem como uma fina poeira disseminada nos carbonatos.

A rocha apresenta sinais de cataclore erodido pelo oleosilvante e cijallamento das ciastas alim. das frequentes fissuras preenchidas por carbonato recristalizado. Observa-se também uma orientação atacostática.

E) Classificação Rocha carbonática impura

Multimafítico JP 371 JP 371 07-CE-81

Dunina Encha do Rio da Esgio TRATADO DE Rocha

DR. J. B. PONTES QUADRÍGULAS Três Círculos

FOLHA GEOLOGICA Curitiba - 1:100000 (Campo Largo)

F1X F2D

SCRIÇÃO DE AFLORAMENTO Rocha foliada, cinza a cinza esverdeada, calcita muito fina, localmente carbonatada e muito silicosa. As ls com aspecto brachóide (cateclase?). Em geral parece alternar ls silicosas (carbonatadas) e níveis ricos em anfíbitos (espessura milimétrica a centimétrica).

O afloramento está contido numa seqüência mámure calcítico impuro, com níveis anfibólitos.

de-se: Mineralogia, descrição textural (cateclase), classificação

SCRIÇÃO MACROSCÓPICA

Cinza a cinza esverdeada

calço fino

grano-lepido blástica

Foliada

de intemperismo Amostra semi-intemperizada

em HCl Regge fracamente

não identificados Quartzo (sílice), anfíbito, carbonato (?)

calcossilicata (?)

SCRIÇÃO MICROSCÓPICA

Textura

Granulação:

Em Relös, grãos e cristais equigranulares

Em rochas magmáticas

Mátriz ou late

Mais componentes

- 1) tremolita - actinolita - silicicato
 2) quartzo - subordinado
 3) carbonato - raro
 4) olivita - raro
 5) zoisita - raro
 6) opacos - episódico
 7)
 8)
 9)
 10)

- 11)
 12)
 13)
 14)
 15)
 16)
 17)
 18)
 19)
 20)

D) Descrição das Minerais e Relações Texturais

A rocha exibe textura granulomórbolástica com sinais de classe. As evidências de catodase são observadas através da presença microfissuras e um certo cingalamento dos cristais de amphibolito.

Torna-se importante salientar a alteração de rímanos siliciclasticos (com implicações carbonáticas) e rímanos amphibolíticos. Os amphibolitos mostram cristais fibrosos e aciculares, às vezes oblongados, pôlo quartzo apesar de cristais irregulares, um pouco longados, com tendências à orientação. O carbonato presente forma, ou ocorre em diminutas manchas associado ao quartzo e aos amphibolitos. A zoisita foi vista, muito raramente, amoldando cristais de olivita.

Os minerais opacos têm formas prismáticas, englobam outros minerais. São fós-tetáicos.

Toda-se de uma rocha metasedimentar de origem pelítica, baixo grau metamórfico, fácies xisto verde.

e classificação Tremolita - actinolita zusto

Melancor fitos RONTO n.º JF-372 e n.º SP-372 DATA 28-08-81

ENSAIO BÁSICO DO RIB. BRUNHO TIPO DE ANÁLISE Rocha

J. B. PINTES QUADRÍGULAS TRÊS CORREGOS

FOLHA GEOLOGICA CURITIBA (CAMPÔ LONGO) 1:100000

F+PS F211

RIÇÃO DE AFLORAMENTO Rocha bem fechada, carbonática, coloração
ca (alguns níveis mais claros), granulação fina a média. Em
é composta por níveis de marmore calcítico puro, bem cri-
so, gran. média, coloração varia clara e níveis de marmore
m. cinza, granulação fina, sulfatiticos.

-se: mineralogia, descrição textural, classificações.

SCRIÇÃO MACROSCÓPICA

Cinza

grão: Fina e média

Grano-lepi dolomítica

Foliada

de intemperismo, amosta fresca

HOL: Reuge

grãos identificados: Carbonato, mica, sulfáticos

mármore intenso

SCRIÇÃO MICROSCÓPICA

Textura

Granulação

Em Rocha: grãos medianos de topo granular

Em rocha: irregular

Matriz ou base

Mega e hipomin

- 1) calcita - esencial
 2) quartzo - cuboидиодо
 3) actinolita - эпіорадіо
 4) діопсид - эпіорадіо
 5) epidoto - raro
 6) titanita - raro
 7) біотіт - raro
 8) опаїт - raro
 9)
 10)

- 11)
 12)
 13)
 14)
 15)
 16)
 17)
 18)
 19)
 20)

D) Descrição dos Minerais e Relações Texturais

A rocha apresenta textura granoblastica e porfiroblastica. Entretanto, a matriz da rocha é constituída por um aglado de calcita e quartzo, que formam cistis alongados com tendências à isorientação.

A amostra exibe faixas de composição mais cárrega intercaladas com faixas mais silicosas.

Os porfiroblastos de actinolita e diópsido englobam porfiroblasticamente, cistis de quartzo e calcita.

As texturas, a estrutura e a mineralogia da rocha seguem um evento de metamorfismo regional e ou de contato.

E) Classificação: Calcossilicata lemfílica

Data: 01.10.81

Analista: Rosa Maria

Metamorfitos Pontos JF-343 e JF-343 no. 26.08.61
Bacia do Rio das Encias, Rio das Encias, Rocha
J.B. Pontes Quadricula Três Coqueiros
FOLHA GEOLOGICA Campo Largo - 1:100.000

F1K F2D

RIÇÃO DE AFLORAMENTO Rocha foliada, granulação fina a média,
muito xistosa, composta pela alternância de níveis milimétricos
de claros, ricos em carbonato, quartzo e anfibólio (?) e
de verde escuros, ricos em anfibólio, com disseminação
pirita e firoxita.

-se: Mineralogia, grau metemórfico, classificação

ESCRIÇÃO MACROSCÓPICA

Verde

granooblástica (fina).

granooblástica

Foliada

de intercalação Anestra fresca

reage (as fricções verde escuro, com menor intensidade)

mais identificadas: carbonato, quartzo, anfibólio

classificação Calcossilicatada (?).

ESCRIÇÃO MICROSCÓPICA

TEXTURA

Granooblástica

Em Relös intercaladamente eq. granular

Da rocha incolor

Mátriz da base

Mega componentes

- 1) tremolita - actinolita - essencial
 2) diopside - esporádico
 3) quartzo - esporádico
 4) plagioclásio - raro
 5) escapolita - esporádico
 6) calcite - raro
 7) sulfatos - raro
 8)
 9)
 10)

- 11)
 12)
 13)
 14)
 15)
 16)
 17)
 18)
 19)
 20)

D) Distribuição dos Minerais e Relações Texturais.

A rocha exibe textura granoblastica e porfiroblastica. Nota-se a presença de vínculos ocupados por minerais filicos.

Bastões de tremolita - actinolita e diopside formam porfiroblastos englobando parcialmente outros minerais. Quartzo, plagioclásio, escapolita ocorrem intersticialmente. O plagioclásio adota alguma cincilização.

Trata-se de uma rocha com faixas zísticas intercaladas com faixas mais granoblasticas, características estes, somente vistos em amostra de mão. A lamina só é representativa da faixa granoblastica.

Sugue-se que a rocha teria sofrido um evento de metamorfismo regional de baixo grau e um evento metamórfico de contato.

Consideração bolcosilicática hampática

Data: 23.10.81

Análise: Prof. Maria

Metamorfitos JF-374 JF-374 28.08.81
EDADIA Branca da rib. do Rio Branco - Rio Grande do Sul, Rocha
ATOR J.B. Pontes ORIGEM: Três Corregos
FOLHA GEOLOGICA Campo Largo - 1:100000 F 1 X F 2 (1)

SCRIÇÃO DE AFLORAMENTO Rocha bem foliada (as vezes xistosa),
granição média, coloração cinza esverdeada, composta por
fíbólito, quartzo, biotite e carbonato.

Pede-se: Mineralogia, grau metamórfico, classificação e possivel origem.

SCRIÇÃO MACROSCÓPICA

Vede

Altura Média

granulada plástica

Textura xistosa (foliada)

é de intercambio, amostra semi-intemperizada

no HCl reage muito fraco

grãos identificados: fíbólito, biotite, quartzo, carbonato.

Relação calcosilicatada (calco-fíbólito-xisto).

SCRIÇÃO MICROSCÓPICA

Textura granular metabólica

Granulação:

Em Rocha apresenta grãos e granular

Em rocha moxa granular

Mátrix em base

Mátrix rara; granular

1) actinolita - raro	11)
2) quartzo - subordinado	12)
3) clorita - esporádico	13)
4) olbita - esporádico	14)
5) epidoto - raro	15)
6) titanita - raro	16)
7) apatita - raro	17)
8) olarita - raro	18)
9) opacos - raro	19)
10)	20)

D) Descrição dos Minerais e Relações Texturais.

A rocha apresenta textura gneissomafóbásica com a presença algumas minerações paralelas à zistosidade da rocha. Observa-se uma intercalação de níveis descontínuos maficos e fílicos.

As faixas maficas são basicamente compostas por actinolita. Essa forma cristais puzináticos, algo foliados. Localmente, separam-se para epidoto e clorita. Além do amphibólio encontrados níveis maficos, foram vistos também, estruturas faixas de clorita englobando cristais róquicos de olbita sericitizada.

Os níveis quartzosos exibem cristais irregulares, quase longados, contatos regulares, com tendências à isocristalização. A volumetria do quartzo é bastante variada, vai desde fina granulação média. Há sinais de recristalizações.

Aussoviamente ocorrem titanita, apatita e olarita. A titanita aparece envolvendo cristais de opacos.

A composição mineralógica da rocha sugere tratar-se de uma rocha metassedimentar de origem polética (metamorfismo grau metanómico é baixo, fárias xisto verde). Entretanto a presença de clorita faz se suspeitar um alto-metamorfismo.

Obs: não foi visto carbonato na lâmina e o teste feito para esse mineral na amostra de mão, foi negativo (HCl a 50%).

E) Classificação: Bloita - actinolita xisto olbitizado